



GIS ایران

سنجش از دور



سال دهم، شماره اول، بهار ۱۳۹۷
Vol.10, No. 1, Spring 2018

سنجش از دور و GIS ایران
Iranian Remote Sensing & GIS

۷۳-۹۰

مقایسه روش‌های بصری و خودکار مبتنی بر شیء در شناسایی لندرم‌های حوضه یزد-اردکان

سید مهدی پورباقر کردی*

مریبی گروه جغرافیا، دانشگاه پیام نور استان همدان، واحد دمق

تاریخ پذیرش مقاله: ۱۳۹۶/۱۱/۷

تاریخ دریافت مقاله: ۱۳۹۶/۴/۱۹

چکیده

شناسایی لندرم‌های غالب مناظر طبیعی در انواع برنامه‌ریزی‌های شهری، آمایش، گردشگری و ... کاربرد و اهمیت فراوان دارد. در این پژوهش، لندرم‌های حوضه یزد-اردکان، به دو روش بصری و خودکار، شناسایی و سپس مقایسه شدند. در روش شناسایی خودکار لندرم‌ها، از قطعه‌بندی تصویر با دو الگوریتم قدرت تفکیک چندگانه و تباین پیکسلی، در قالب مقاومت شی‌عپایه، استفاده شد. نتایج نشان داد قطعه‌بندی به روش قدرت تفکیک چندگانه، به‌دلیل لحاظ کردن معیار شکل در تشخیص ساختار و مرز طبیعی لندرم‌ها مانند مخروط افکنه، مناسب به نظر می‌رسد ولی قطعه‌بندی به روش تباین پیکسلی، در شناسایی میکرولندرم مانند کانال‌های گیسویی در سطح مخروط افکنه، مناسب است. نتایج حاصل از مقایسه شناسایی بصری و خودکار لندرم‌ها نشان داد، در روش بصری، فقط امکان شناسایی لندرم‌های بزرگ همچون توده‌های کوهستانی، انواع دشت‌سرها، کفه اردکان و به‌سختی تلماسه‌ها وجود داشت. ولی در روش خودکار مبتنی بر شیء، نه تنها لندرم‌های مذکور بلکه لندرم‌های کوچک‌تر مثل تپه‌های عرضی، مخروط افکنه‌ها، هزاردره‌ها، کوه‌های منفرد نیز شناسایی شدند. برای ارزیابی دقت مدل‌های شناسایی خودکار لندرم‌ها، از دو روش کیفی و کمی استفاده شد؛ در ارزیابی کیفی، از تکنیک هم‌پوشانی به منظور بررسی چشمی میزان تطابق و روی‌هم قرار گیری نقشه حاصل از مدل با تصاویر گوگل ارث و در ارزیابی کمی، از ماتریس درهمی استفاده شد. نتایج ارزیابی‌ها نشان دادند که الگوریتم قدرت تفکیک چندگانه در شناسایی و قطعه‌بندی لندرم‌ها دارای صحت کلی ۹۷,۴۶٪ و ضریب کاپای ۹۶,۵۳٪ است. همچنان، خطاهای کمیسیون و امیسیون نشان دادند که کمترین خطاهای شناسایی مربوط به لندرم‌هایی با بافت نرم، مانند دشت، است ولی بیشترین خطاهای شناسایی به لندرم‌هایی با بافت خشن، مثل کوهستان، بازمی‌گردد.

کلیدواژه‌ها: شناسایی خودکار، نقشه لندرم، قطعه‌بندی، قدرت تفکیک چندگانه، حوضه یزد-اردکان.

*نویسنده عهده‌دار مکاتبات: همدان، دانشگاه پیام نور، صندوق پستی ۹۹۵۱-۰۸۱۳۲۵۴۶۸۴۲-۰۹۱۲۴۵۴۷۱۵۳، تلفن: ۰۸۱۳۴۵۰۰۹۱۰.

Email: LMS97300@gmail.com

۱- مقدمه

کاربرد دارند (Dehn et al., 2001). به طور کلی، دانشمندان علوم زمین ارزش لندفرم‌ها را در چهار مورد می‌دانند: ۱. ارزش فرهنگی^۱، ۲. ارزش روحانی^۲، ۳. ارزش زیبایی^۳، ۴. ارزش اقتصادی^۴ (Australian Curriculum, 2008). شناسایی و طبقه‌بندی لندفرم‌ها از مهم‌ترین اهداف و از کارهای پایه‌ای در تهیه نقشه‌های ژئومورفولوژی است (شایان و همکاران، ۱۳۹۱). نقشه لندفرم‌ها، به خودی خود، ارزش اطلاعاتی بسیار زیبادی برای برنامه‌ریزی محیطی، مهندسی عمران، کشاورزی، حفاظت منابع طبیعی، پیش‌بینی و پیشگیری از بلایای طبیعی احتمالی دارد (ملامه‌علیزاده و همکاران، ۱۳۸۳).

هدف از شناسایی لندفرم‌ها ساده‌سازی شکل پیچیده زمین به تعداد محدودی از واحدهای عملیاتی است که هم بتوان آنها را از هم تمیز داد و هم اطلاعات مفیدی از آن لندفرم عرضه کنند (Gerçek, 2010).

چگونگی پراکنش و نوع لندفرم‌های غالب هر منظرة طبیعی یا چشم‌انداز با میزان فرسایش و رسوبدهی، مواد مغذی خاک و حتی دیگر پارامترهای اکولوژیکی همچون تولیدات ناخالص اولیه، کیفیت آب و درنهایت، تنوع زیستی^۵ ارتباط مستقیم دارد (Dragut and Blaschke, 2006).

شناسایی و طبقه‌بندی لندفرم‌ها از مهم‌ترین اهداف و از کارهای پایه‌ای در تهیه نقشه‌های ژئومورفولوژی به شمار می‌رود (شایان و همکاران، ۱۳۹۱). تهیه نقشه‌های دقیق ژئومورفولوژی با نقشه‌های لندفرم ارتباطی پیوسته دارد. اطلاعات جامع حاصل از لندفرم‌ها، به ویژه لندفرم‌هایی که اهمیت اقتصادی دارند، ضروری است زیرا داشتن اطلاعات جامع از فرم و فرایند ایجاد لندفرم‌ها، فرسایش خاک، پیش‌بینی حوادث محیطی همچون لغزش زمین، سیل و وضعیت پایداری دامنه‌ها در بسیاری از برنامه‌ریزی‌های ناحیه‌ای نقش مهمی دارد.

- | | |
|--------------------|--------------------------|
| 1. landforms | 2. continuous phenomenon |
| 3. Cultural value | 4. spiritual value |
| 5. aesthetic value | 6. economic value |
| 7. bio variety | |

لندفرم‌ها^۶، یا اشکال فیزیکی سطح زمین، نقش مهمی در حیات انسان‌ها دارند؛ گاه برای انسان مخاطره‌سازند، مانند تپه‌های ماسه‌ای روان و گاهی هم اهمیت اقتصادی دارند، مثل طاقدیس‌هایی که نقش تله‌های نفتی را بر عهده دارند. بنابراین، شناسایی و پراکنش مکانی آنها در متن تصاویر سنجش از دور یکی از روش‌های مطالعاتی آنهاست.

هرچند روش‌های بصری در شناسایی و تفکیک لندفرم‌های بزرگ مفیدند اما در مقیاس وسیع، وقت‌گیر و پرهزینه‌اند؛ در عوض، روش‌های خودکار مبتنی بر دانش ژئومورفولوژی، با صرف هزینه و زمان کمتر، هم در تشخیص لندفرم‌های کوچک‌تر موفق عمل می‌کنند و هم روشهای مکمل محسوب می‌شوند که خطای ذهنیت‌گرایی و اعمال سلیقه‌های شخصی مفسر را بهبود می‌بخشند زیرا شواهد مهمی در پیشینه تهیه نقشه‌های لندفرم وجود دارد که نشان می‌دهد طبقه‌بندی آنها، با اعمال دیدگاه‌های شخصی و درکی که از چشم‌اندازها وجود داشت، انجام می‌گرفت. درنتیجه، ذهنیت‌گرایی و اعمال سلیقه‌های شخصی از دقت این گونه نقشه‌ها می‌کاست. این نکته در این تحقیق، با استفاده از روش‌های مؤثر در شناسایی خودکار لندفرم‌های ژئومورفولوژیکی و مرز بین آنها، بررسی شده است.

سطح زمین از عوارض پیوسته طبیعی و ساختاریافته‌ای از لندفرم‌ها تشکیل شده که نتیجه عملکرد مجموعه فرایندهای ژئومورفولوژیکی، زمین‌شناسی، هیدرولوژیکی، اکولوژیکی و فرایندهای تشکیل خاک است و این فرایندها، در بستر زمان، در ایجاد لندفرم‌ها نقش داشته‌اند (MacMillan and Shary, 2009).

لندفرم به شکل‌هایی از سطح زمین گفته می‌شود که نتیجه اعمال فرایندهای متقابل فیزیکی، شیمیایی و بیولوژیکی طی زمان طولانی باشند. لندفرم‌های کلان (مانند رشته‌کوه البرز) در ژئومورفولوژی، هیدرولوژی، هواشناسی و دیگر دانش‌ها، به منزله مرزهای ثابت،

طبقه‌بندی براساس مفاهیم شیءپایه و مورفومنتریکی روی داده‌های رقومی ارتفاعی سطح زمین بسیار مؤثر و کارسازتر از روش‌های پیکسل‌پایه است (Hoffmann and vander Vegt, 2001 زیرا، افزون بر طبقه‌بندی، ویژگی اکتشاف و بارزسازی لندفرم‌ها را نیز دارد.

در مفاهیم شیءپایه‌ای، شیءهای تصویری به گروهی از پیکسل‌های مشابه در یک داده رستی گفته می‌شود که طی مراحل قطعه‌بندی اطلاعاتی کامل‌تر از پیکسل‌های حاصل از قطعه‌بندی اطلاعاتی هستند. شیءهای منفرد و بدون روابط همسایگی دارند. زیرا شیءهای تولیدی، علاوه‌بر اطلاعات طیفی پیکسل‌های منفرد، اطلاعات تکمیلی دیگری همچون روابط همسایگی، شکل و مورفوولوژی، اندازه نسی و دیگر پارامترهای ژئومورفومنتری را دربر دارند که همه این اطلاعات منجر به شناسایی و تفکیک‌پذیری یا طبقه‌بندی بهتر لندفرم‌ها می‌شود (Asselen and Seijmonsbergen, 2006).

نخستین تلاش‌ها در زمینه طبقه‌بندی مورفوولوژی لندفرم‌های زمین را افرادی چون هموند^۱ (۱۹۵۴)، والاس^۲ (۱۹۵۵)، لینتون^۳ (۱۹۷۰)، گُروزر و اوئن^۴ (۱۹۸۳)، دیکاو^۵ و همکاران (۱۹۹۱) داشته‌اند. همه آنها، به صورت مشترک، در تمامی مطالعات خود برای طبقه‌بندی لندفرم‌ها، از پارامترهای شیب، ارتفاع نسبی و نوع پروفیل استفاده کردند زیرا پارامترهای مورفومنتریک محسوب می‌شوند و شکل هندسی لندفرم‌ها را نشان می‌دهند. مهم‌ترین پیشینه‌های تحقیق در جدول ۱ آمده است.

طرح موضوع قطعه‌بندی تصویر^۶، به منظور شناسایی اشکال، به میانه سال ۱۹۷۰ م. بر می‌گردد (Haralick et al., 1973). اما فقط با گذشت بیش از یک دهه از آن، این مفاهیم، در قالب بسته‌های نرم‌افزاری آماده، مانند تحلیل شیءپایه تصویر OBIA^۷، ظهور یافتند (Dragut and Blaschke, 2006).

جدول ۱. مهم‌ترین پیشینه‌های تحقیق

محقق	نتیجه روش کار
هموند (۱۹۵۴)	روش دستی از پنجره چهارگوش
دایموند ^۸ (۱۹۹۵)	استفاده از شیب و ارتفاع
پایک ^۹ (۲۰۰۹)	استفاده از مدل DEM
دیکاو و همکاران (۱۹۹۱)	مدل سلسه‌مراتبی
براین ^{۱۰} (۱۹۹۸)	پنجره جست‌وجوگر دایره‌ای
دربات و بلاشک ^{۱۱} (۲۰۰۶)	تحلیل شیءپایه تصویر (OBIA)
هافمن و واندر و گت ^{۱۲} (۲۰۰۱)	مدل رقومی ارتفاع (DEM) و فازی
آرجیالاس و تزوتسوس ^{۱۳} (۲۰۰۴)	شیءپایه
کرم (۱۳۸۸)	از مدل رقومی ارتفاعی و ایزوویتا
محمدی و همکاران (۱۳۸۹)	فازی
گورایی و کریمی (۱۳۹۱)	روش قرینه‌سازی مدل رقومی ارتفاع
شایان و همکاران (۱۳۹۱)	روش طبقه‌بندی با بیشترین مشابهت
قوتوانی و بهشتی (۱۳۹۲)	سیستم اطلاعات جغرافیایی
رامشت (۱۳۹۳)	تهیئة نقشه لندفرم‌ها
	استخراج مز مخروط‌افکنه‌های مرغ امریکا
	شناختی مخروط‌افکنه‌های دره مرغ امریکا
	طبقه‌بندی بخشی از زمین‌منظرهای شیراز
	برای استخراج خطوط ساحلی چابهار
	استخراج مز مخروط‌افکنه مرست
	طبقه‌بندی لندفرم‌های مناطق خشک مرتع
	تهیئة نقشه لندفرم‌ها
	تهیئة نقشه ژئومورفوولوژی و نمادهای مجاز آن

1. Hammond
2. Wallace
3. Linton
4. Crozier and Owen
5. Dikau
6. image segmentation
7. Object-Based Image Analysis
8. Dymond
9. Pike
10. Brabyn
11. Dragut and Blaschke
12. Hoffmann and Vander Vegt
13. Argialas and Tzotsos

۱۳° ۳۱' تا ۴۸° ۳۲' و طول جغرافیایی از ۵۷° ۰' تا ۵۹° ۵۴' قرار دارد (شکل ۱). از لحاظ ژئومورفولوژی، این حوضه از شمال به کفه اردکان و از جنوب به ارتفاعات شیرکوه، از شرق به زیرحوضه خرانق و از غرب به زیرحوضه ندوشن محدود می‌شود (اختصاصی و همکاران، ۱۳۸۳).

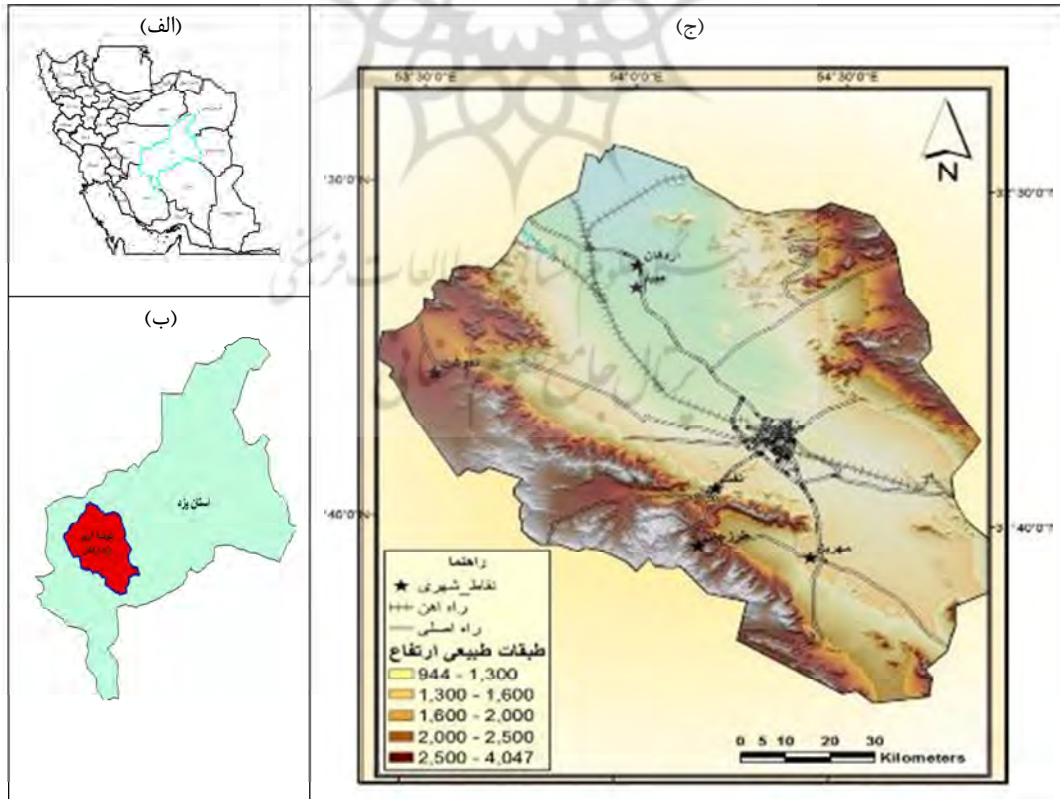
مواد اصلی این پژوهش را، افزون بر جست‌وجوی جامع اینترنتی، مجموعه عملیات پیش‌پردازش تصاویر سنجش از دور و پس‌پردازش، شامل قطعه‌بندی تصاویر طیفی به منظور استخراج لندفرم‌ها، تشکیل می‌دهد؛ به‌طوری‌که برای شناسایی لندفرم‌های بزرگی، مانند رشته‌کوه‌ها و دشت‌سرهای، از داده‌های سنجنده ETM مربوط به ماهواره لندست نسل ۷ و برای شناسایی لندفرم‌های کوچکی، همچون مخروط‌افکنه‌ها، از تصویر ماهواره ژئو-آی استفاده شده است. در جدول ۲ انواع تصاویر ماهواره‌ای به کاررفته و کاربرد هریک در این تحقیق آورده شده است.

در این تحقیق، پس از تهیه نقشه لندفرم‌های حوضه یزد با دو روش بصری و خودکار مبتنی بر شیء، خواهیم دید در یک مقیاس ثابت، بعضی از لندفرم‌هایی که در روش بصری از دید انسان پنهان می‌ماند، در روش خودکار، با همان مقیاس به‌خوبی شناسایی و بازسازی شدند.

هدف از این تحقیق معرفی مهم‌ترین الگوریتم‌های شناسایی خودکار عوارض ژئومورفولوژیکی حوضه یزد-اردکان، در جایگاه روشن مکمل برای روش‌های بصری، و نیز امکان‌سنجی تشخیص میکرولندفرم‌ها روی سطح لندفرم مخروط‌افکنه به‌روش خودکار است.

۲- مواد و روش‌های تحقیق

منطقه مورد مطالعه در این تحقیق حوضه آبریز یزد-اردکان، با مساحتی بالغ بر ۱۵۹۵۰ کیلومترمربع، است که تقریباً در مرکز ایران و در محدوده عرض شمالی از



شکل ۱. موقعیت محدوده مورد مطالعه: (الف) در سطح ایران؛ (ب) در سطح استان؛ (ج) در سطح حوضه آبریز

جدول ۲. منابع اطلاعات موجود و نوع کاربری تصاویر ماهواره‌ای

تاریخ تصاویر	ماهواره	سنجدنه	قدرت تفکیک	باندهای استفاده شده	نوع کاربرد در تحقیق حاضر	منبع دریافت و سفارش داده
۰۸/۲۰/۲۰۰۸	لندست	۳۰ متر	ETM+	۲ و ۳ و ۴	کاذب از منطقه مورد مطالعه، طبقه‌بندی نمایش تصویر رنگی	www.earthexplorer.usgs.gov
۰۷/۱۷/۲۰۰۹	آئی-۱	۱.۶۵	ژئو-آی	۲۱	قطعه‌بندی، شناسایی میکروفرم‌ها	www.geeeye.com/xY5

به روش دوم (خودکار) ضرورت می‌بخشد، علاوه‌بر سرعت بالا و تکرارپذیری آن، این است که خطاهای انسانی مانند خطای دید، خطای درهم‌آمیزی مرزها و لبه‌ها و ناتوانی چشم انسان در شناسایی و طبقه‌بندی عوارض کوچک، همچون میکرولندفرم‌های سطح زمین، در آن راه ندارد.

ب) روش رقومی- خودکار
در این روش، مفسر سعی دارد مدل‌های انتزاعی و ادراک مفهومی خود را، در قالب روابط ریاضی، به رایانه بسپارد تا رایانه بیشترین میزان محاسبات را، با دقت بالا و در زمان کوتاه و با امکان تکرارپذیری، داشته باشد. این روش در اینجا شامل مجموعه تکنیک‌های سنجدش از دور است که به شناسایی عوارض طبیعی سطح زمین منجر می‌شود.
در این تحقیق، به منظور شناسایی خودکار عوارض سطح زمین، از الگوریتم‌های قطعه‌بندی تصاویر طیفی، با رویکرد متفاوت، به شرح زیر استفاده شده است:

۱-۱- رویکرد از بالا به پایین^۱ یا کل به جزء
در این رویکرد، اشکال و اشیای تصویر، برای شناسایی شدن، به قطعات کوچک‌تر تقسیم می‌شوند. درواقع، این رویکردی از کل به جزء است. در تحقیق حاضر، از الگوریتم «قطعه‌بندی براساس تباين^۲ درجهات

1. top-down segmentation
2. contrast split segmentation

برای شناسایی انواع لندرم‌های حوضه یزد- اردکان، از دو روش زیر استفاده شده است:

الف) روش بصری

تفسیر بصری تصویر، بیشتر از اینکه به خواندن پیکسل‌های تصویر مربوط شود، به دیدن تصویر و درک کلی آن مربوط است که هم نیازمند تشخیص عناصر الگویی تصویر مانند درجه روشنایی، رنگ، اندازه، بافت، شکل، الگو، ارتفاع، سایه و واپستگی است و هم به تحلیل و الحقائق دانش متنی نیاز دارد.

کارشناس، در این روش، با کمک عوامل تفسیر مانند شکل، اندازه، رنگ، الگو یا طرز چینش اشیا در کنار هم، تن عکسی یا پله‌های رنگی، سایه، بافت یا ریزی و درشتی اشیا و نیز با تکیه بر دانسته‌ها و آموخته‌های پیشین خود، از روی انواع عکس‌های هوایی و تصاویر ماهواره‌ای، اقدام به شناسایی انواع لندرم‌های کلان و بزرگ حوضه مطالعاتی می‌کند. این روش وقت‌گیر است و هزینه بالایی در بر دارد. البته گفت‌نی است از مزایای این روش اجرای انواع شناخته‌ای ذهنی و حسی مفسر از جهان واقعی، به طور مستقیم و بدون تشریفات و محدودیت‌های نرم‌افزاری- سخت‌افزاری، برای شناسایی و طبقه‌بندی عوارض است. دقت این روش به میزان هوشمندی مفسر و شیوه و مدل شناخت او از عوارض ژئومورفولوژیکی بازمی‌گردد. نقشه لندرم‌های حاصل از تفسیر بصری، در شکل ۷، در بخش نتایج تحقیق آورده شده است. درواقع، آنچه

فشردگی یا ضرب نرمی شکل بنا شده است (Martin et al., 2012)

باتز و همکاران^۱ (۲۰۰۸) معتقدند، با افزایش و ارتقای بار مفهومی و معنایی، مانند افزایش نقش مدل‌های انتزاعی، می‌توان به اشیای تصویری مطلوبی رسید که بهترین معرف و نمونه در عملیات طبقه‌بندی بهشمار روند. این مفاهیم با عنوان «مدل فنر مارپیچی باتز»^۲ در شکل ۲ آورده شده است. طبق شکل ۲، با درنظرگرفتن مفاهیم معنایی و انتزاعی همچون روابط مورفولوژی و همسایگی‌ها و مدل‌های دانش‌پایه در قطعه‌بندی، می‌توان به شناسایی اشیای دقیق‌تری برای طبقه‌بندی در گستره مورد نظر رسید. فرایند قطعه‌بندی در این روش با یک پیکسل و یا شیء تصویر منفرد^۳ آغاز و در چندین مرحله، تکرار می‌شود تا به صورت شکل بزرگ‌تری (لندفرم) امتزاج و ترکیب یابد. این تکرار و ترکیب تا زمانی ادامه می‌یابد که از آستانه تعریف شده تجاوز نکند.

در این روش، فرایند شناسایی اشیا — در اینجا لندفرم — طبق مراحل زیر انجام می‌گیرد:

در نخستین مرحله از فرایند قطعه‌بندی، پیکسل آموزشی^{۱۱} یا اشیای منفرد تصویری^{۱۲} به جستجوی مشابه‌ترین پیکسل یا شیء تصویری همسایه خود بر می‌آید تا با آن ادغام شود. معیار جستجوی یافتن بهترین همسایه شکل، رنگ یا هر معیار ژئومورفومتری است (شکل ۳).

روشنایی»، به منظور شناسایی میکرولندفرم‌های روی سطح مخروط‌افکنه، استفاده شده است.

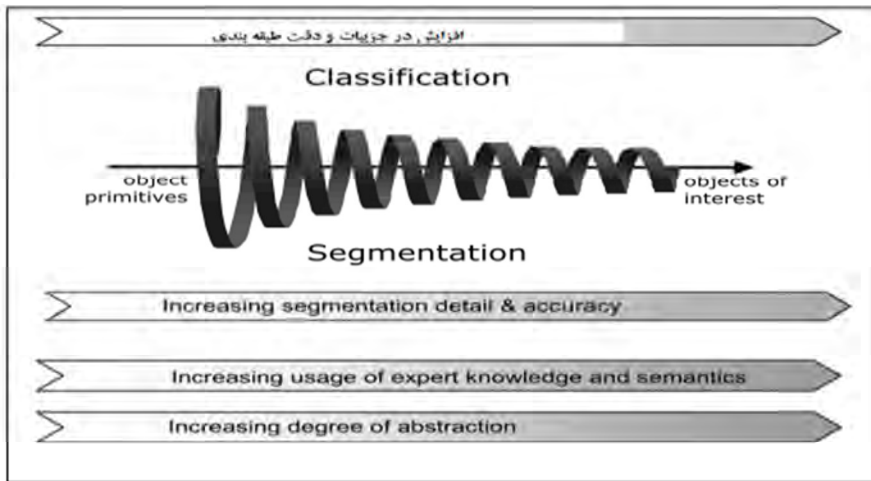
قطعه‌بندی^۱ تبدیل هر تصویر به واحدهای مجزاست که از نظر بافت، رنگ و دیگر ویژگی‌های فضایی همگن و مشابه باشند. در قطعه‌بندی، تصویر به نواحی جداگانه‌ای تقسیم می‌شود که به هریک از این نواحی «آجکت» یا «شیء»^۲ می‌گویند. این اشیای تصویری حاصل از عملیات قطعه‌بندی، افزون بر اطلاعات طیفی، اطلاعات مهم غیرطیفی را نیز دربر دارند؛ مانند شکل هندسی، اندازه و موقعیت نسبی، بافت و روابط همسایگی.

در الگوریتم قطعه‌بندی براساس تباين، اشیای تصویری، طبق اختلاف بين درجات روشنايي پيكسل‌ها، به محدوده‌های سفيد و سياه تبدیل می‌شوند. در اين شيوه، اشیای روشن و تيره، به لحاظ مقادير آستانه، با استفاده از بُردار چندضلعی^۳ از هم تفكیک می‌شوند (Martin et al., 2012)

۲-۲- رویکرد از پایین به بالا یا از جزء به کل^۴
در این رویکرد، قطعات کوچک تصویر براساس معیارهای متفاوتی همچون همگنی، ویژگی‌های طیفی، بافت و متن تصویر، مورفولوژی و هندسه با هم ادغام می‌شوند تا شکل بزرگ‌تری پدید آید. درواقع، این رویکرد از جزء به کل است. در این رویکرد، از الگوریتم «قطعه‌بندی با قدرت تفکیک چندگانه»^۵، به منظور شناسایی خودکار لندفرم‌های سطح حوضه، استفاده شده است.

قطعه‌سازی با قدرت تفکیک چندگانه پرکاربردترین روش شناسایی اشکال در این رویکرد است (Baatz and Schäp, 2000). معیار همگنی در این الگوریتم چگونگی ادغام اشکال همگن با یکدیگر، در فضای تصاویر شیء‌پایه، را تعیین می‌کند. این معیار به منظور ادغام شکل‌ها از نظر ویژگی‌های شکل و رنگ در تصاویر چندطیفی به کار می‌رود. همگنی رنگ^۶ براساس انحراف معیار رنگ و همگنی شکل^۷ براساس انحراف معیار

-
1. segmentation
 2. object
 3. polygon vector
 4. bottom-up segmentation
 5. multiresolution segmentation algorithm
 6. color homogeneity
 7. shape homogeneity
 8. Baatz et al.
 9. spiral model of Baatz
 10. image object single
 11. training pixel
 12. single image objects



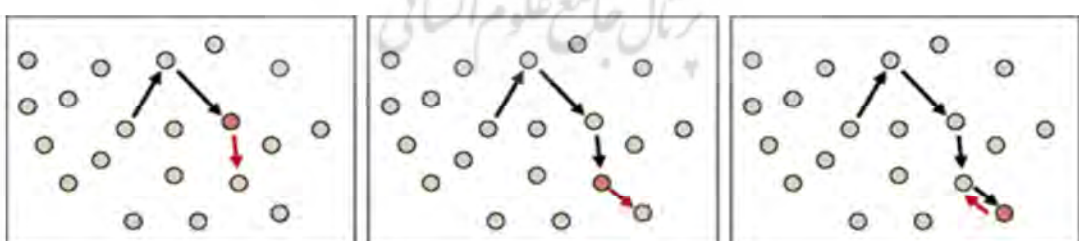
شکل ۲. نقش مدل‌های انتراعی و مفهومی در افزایش دقت قطعه‌بندی

منبع: Baatz et al., 2008

این فرایند، تا پیدا شدن همسایه جدیدی برای ادغام، ادامه می‌یابد و از آن سو، اگر پیکسل همسایه‌ای با ویژگی مورد نظر یافت نشود، به پایان می‌رسد. کاربران تصاویر طبقه‌بندی شده ماهواره‌ای باید از صحت و کارآیی نقشه مورد استفاده اطلاع داشته باشند. صحت را به صورت نزدیک به واقعیت تعریف می‌کنند. در تحقیقات اخیر در زمینه ارزیابی دقت، بیشترین توجه بر «ماتریس درهمی»^۱ و «صحت کلی»^۲ متمرکز شده است (علوی‌پناه، ۱۳۸۲). در همین زمینه، در تحقیق حاضر، برای ارزیابی دقت مدل‌های شناسایی خودکار لندفرم‌ها، از دو روش کیفی و کمی استفاده

در مقابل، اگر همسایه یافت شده پیکسل آموزشی را بهترین پیکسل همسایه همگن خود نشناخت؛ خود آن پیکسل همسایه نقش پیکسل آموزشی جدید را پیدا می‌کند و به دنبال همسایه جدید یا بعدی همگن خود می‌گردد. این کار آنقدر تکرار می‌شود تا رابطه دوطرفه^۱، بین پیکسل آموزشی و پیکسل همسایه، پدید آید.

زمانی که بین پیکسل آموزشی و پیکسل همسایه، از نظر همگنی، رابطه دوطرفه برقرار شد؛ این دو با هم ادغام می‌شوند و شکل بزرگ‌تری را تشکیل می‌دهند (شکل ۳، سمت راست).



شکل ۳. فرایند شناسایی خودکار لندفرم‌ها. نقطه قرمز بیانگر پیکسل‌های نمونه است. پیکان مسیر جستجوی بهترین پیکسل همسایه را نشان می‌دهد (برای توضیح بیشتر، رک: متن بالا).

منبع: Martin et al., 2012

1. mutual relationship
2. confusion matrices
3. overall accuracy

برای محاسبه صحت کلی (oa)، از نسبت مجموع درایه‌های قطر اصلی ماتریس ($\sum_{i=1}^m p_{kk}$) به کل پیکسل‌های مورد ارزیابی، به صورت رابطه (۱)، استفاده شده است:

$$oa = \frac{1}{m} \sum_{i=1}^m p_{kk} \quad (1)$$

از آنجاکه از همه عناصر ماتریس در محاسبه صحت کلی استفاده نمی‌شود، عامل شانس در آن تاثیرگذار است. برای بی‌اثر کردن این عامل، از شاخص چندمتغیره‌ای به نام ضربی کاپا^۱، به صورت رابطه (۲)، استفاده شده است:

$$\hat{k} = \frac{N \sum_{i=1}^r X_{ii} - \sum_{i=1}^r (X_i + X_{+1})}{N^2 - \sum_{i=1}^r (X_i + X_{+1})} \quad (2)$$

۱ تعداد ردیف‌ها در ماتریس خطای X_{ii} تعداد مشاهده‌ها در ردیف i و ستون i روی قطر اصلی X_{i+1} کل مشاهده‌های ردیف i و ستون i و N کل مشاهده‌هاست (علوی‌پناه، ۱۳۸۲).

دقت تولیدکننده از نسبت عنصر قطری هر کلاس به جمع مقادیر هر ستون (هر کلاس) به دست می‌آید. اما دقیق کاربر از نسبت عنصر قطری هر کلاس به جمع مقادیر هر سطر (هر کلاس) حاصل می‌شود (اکبری و شکاری، ۱۳۹۲).

۳- نتایج و یافته‌های تحقیق

۳-۱- روش تباین پیکسلی

در این روش، ابتدا همانند شکل زیر، تصویر شترنجی یا مریعی می‌شود و سپس تباین یا اختلاف بین پیکسل‌های تیره و روشن در هریک از مریع‌ها، با استفاده از چندضلعی، تفکیک و مشخص می‌شوند. نتایج حاصل از اجرای این روش، برای یکی از مخروط‌افکنه‌های حوضهٔ بزد-اردکان، در شکل ۴ آورده شده است.

1. error matrix

2. Kappa coefficient

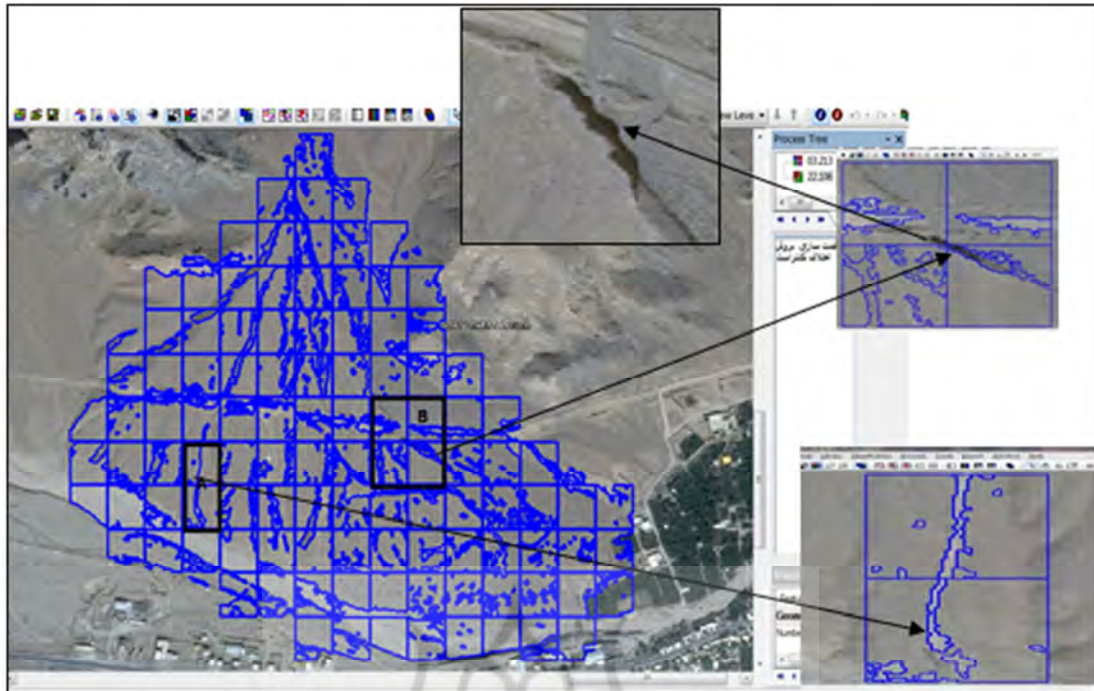
شده است؛ در روش کیفی، به منظور بررسی چشمی میزان تطابق و روی‌هم قرارگیری لایه‌ها، تفسیر چشمی و تکنیک‌های همپوشانی به کار رفته و در روش کمی، از ماتریس درهمی بهره گرفته شده است. نام دیگر این ماتریس ماتریس خطای^۲ است؛ ماتریس مربعی N در N که N تعداد کلاس‌ها را نشان می‌دهد. ساختار معمول ماتریس خطای مؤلفه‌های آن در جدول ۳ معرفی شد. در این ماتریس، مجموع اعداد در هر ستون بیانگر درصد یا تعداد پیکسل‌ها در واقعیت زمینی است؛ در حالی‌که هریک از اعداد موجود در سطرهای این ماتریس داده‌های طبقه‌بندی شده با الگوریتم طبقه‌بندی کننده را نشان می‌دهد (علوی‌پناه، ۱۳۸۲). در واقع، ماتریس خطای دقت شناسایی و طبقه‌بندی را، از راه مقایسه نتایج طبقه‌بندی با واقعیت زمینی، به دست می‌آورد (Jensen, 1986). از ویژگی‌های این ماتریس آن است که مجموع عناصر روی قطر اصلی بیانگر مجموع تعداد عناصری است که، به درستی و مطابق با واقعیت زمینی، با استفاده از الگوریتم، شناسایی شده‌اند (Stehman, 1997).

جدول ۳. ساختار معمول ماتریس خطای و مؤلفه‌های آن

منبع: 2015 Scofield et al.,

		User				
Producer	ω_1	ω_1	ω_2	...	ω_k	
		p_{11}	p_{12}	...	p_{1k}	p_{1+}
	ω_2	p_{21}	p_{22}	...	p_{2k}	p_{2+}
	\vdots	\vdots	\vdots	...	\vdots	\vdots
	ω_k	p_{k1}	p_{k2}	...	p_{kk}	p_{k+}
		p_{+1}	p_{+2}	...	p_{+k}	m

و ω_i شماره کلاس، $p_{i,j}$ تعداد پیکسل‌ها از کلاس ω_i که به اشتباه در کلاس ω_j قرار گرفته و p_{kk} تعداد پیکسل‌هایی است که به درستی شناسایی و طبقه‌بندی شده‌اند. p_{i+} و p_{+i} به ترتیب، اشاره به درستی تولیدکننده و کاربر دارند و m نیز کل پیکسل‌های مورد ارزیابی است (Scofield et al., 2015).

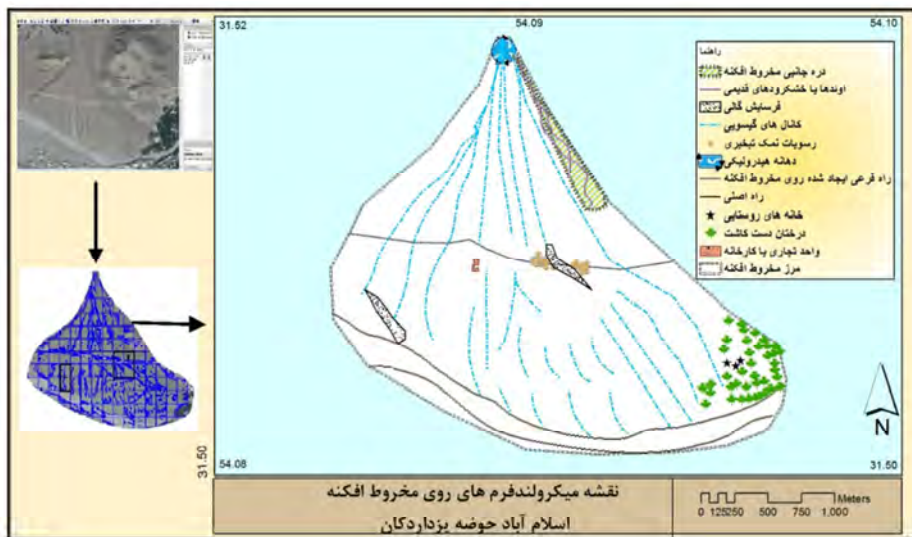


شکل ۴. اجرای قطعه‌بندی به روش تباين پیکسلی؛ نمونه A (تصویر بزرگ‌شده پایینی) بخشی از مسیر راه فرعی است که روی مخروطافکنه احداث شده و با این روش، با استفاده از چندضلعی، به نمایش درآمده است. نمونه B (تصاویر بزرگ‌شده بالایی) سایه حاصل از فرسایش خندقی بر پیکره مخروطافکنه را نشان می‌دهد که با روش قطعه‌بندی کشف شده است.

اهمیت دارد. در این تحقیق، توزیع مکانی کانال‌های گیسویی، به صورت خودکار، با روش تباين در درجات روش‌نایی پیکسل‌ها شناسایی شده است (شکل ۴ و ۵). محل شکل‌گیری کانال‌های گیسویی، در واقع، محل پخش سیلاب‌های خطرناک و به عبارت دیگر، بخش فعل مخروطافکنه است که با این روش کشف شده است. خشک‌رودها نیز از عوارض قابل استخراج روی وجود آبراهه بوده‌اند، در بخش بالادستی مخروطافکنه‌ها، پدیده‌های شایع در بیشتر مخروطافکنه‌های منطقه است.

-
1. gully
 2. morphography
 3. braided river
 4. multi-resolution segmentation algorithm

همان‌طور که در شکل ۴ دیده می‌شود، مهم‌ترین میکرونیدفرم‌ها شامل گالی‌ها یا آبکندها^۱ می‌شوند که جزء لندرفرم‌های فرسایشی- جریانی‌اند و از نظر شکل‌نگاری^۲ از دره‌های تنگ و ممتد تشکیل یافته‌اند. کنترل نکردن آنها به تخریب زیرساخت‌های شهری، مانند راه‌های موصلاتی، می‌انجامد. سایه حاصل از رأس گالی توسعه آن را نشان می‌دهد و یکی از مخاطرات جدی برای ساکنان و سازه‌های آنها به شمار می‌رود. رواناب صفحه‌ای، که در اقلیم نیمه خشک وجود دارد، به شکل‌دادن مخروط گیسویی (شکل ۵) منجر می‌شود. کانال‌های گیسویی^۳ انشعاباتی از رواناب رودخانه‌ای‌اند که روی سطح مخروطافکنه‌ها گسترش دارند و مکانیسم تشکیل و تحول آنها به دینامیک آب و ویژگی‌های حوضه بازمی‌گردد (یمانی و مقصودی، ۱۳۸۲). این کانال‌ها بستر اصلی پخش سیلاب روی مخروطافکنه‌ها به شمار می‌روند که شناسایی مکان آنها



شکل ۵. نقشه میکرولندفرم مخروط افکنه اسلام آباد، حوضه بزد. شکل بالا، سمت چپ، تصویر ورودی و شکل پایین تصویر قطعه‌بندی شده را نشان می‌دهد که، به صورت خودکار، با روش تبیان ایجاد شده است. شکل میانی نقشه نیز میکرولندفرم‌های مخروط افکنه در محیط GIS را نمایش می‌دهد.

مناسب بین لندفرم‌ها، انتخاب شدند. نتایج حاصل از اجرای الگوریتم قطعه‌سازی با قدرت تفکیک چندگانه برای بخشی از حوضه، در شکل ۶(ب) آمده است. همان‌طور که در شکل دیده می‌شود، لندفرم‌ها ابتدا با روش قدرت تفکیک چندگانه، با پارامترهای یادشده، از هم تفکیک و سپس، مطابق شکل ۶(ج)، به کلاس‌های ژئومورفولوژیکی تقسیم شده‌اند. در این روش، سرتاسر سطح زمین تفکیک و شناسایی می‌شود و داده‌های بلا تکلیف و بدون شناسایی وجود ندارد. افزون بر آن، برخی از میکرولندفرم‌ها در مقیاس خرد، مانند دره‌های U-شکل، و اشکال مشابه، مثل کوه و تپه، به علت در نظر گرفتن معیارهای ژئومورفولوژی، هم‌جون پارامتر شکل، نیز شناسایی شدند.

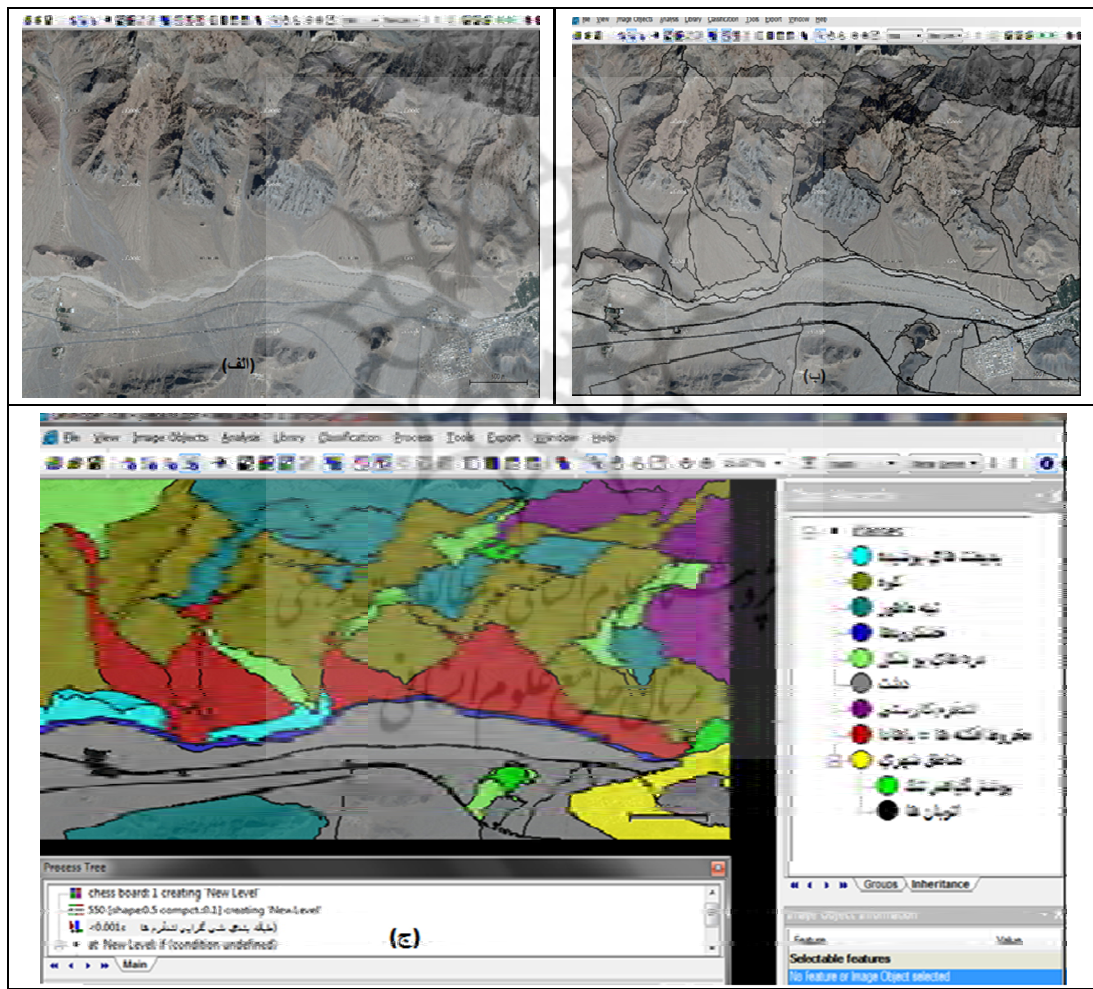
فرایند قطعه‌بندی با سه پارامتر تعریف می‌شود: ۱. مقیاس؛ ۲. رنگ؛ ۳. شکل. پارامتر مقیاس تعیین‌کننده ابعاد هندسی شیء‌های تصویری است و هرچه این پارامتر بزرگ‌تر انتخاب شود، اشیای تصویری

۲-۳- نتایج حاصل از الگوریتم قطعه‌سازی با قدرت تفکیک چندگانه^۱ در شناسایی لندفرم‌ها در این الگوریتم، پیکسل‌ها یا اشیای کوچک تصویر، براساس معیار همگنی، به طور متواالی، با پیکسل‌ها یا اشیای دیگر همسایگی ادغام می‌شوند تا آبجکت یا شیء بزرگ‌تر و بامعناتری، از نظر همگنی، تولید شود. معیار همگنی در این روش ترکیبی از معیار شکل و طیف یا رنگ است. الگوریتم مورد نظر تکنیکی از جزء به کل یا از پایین به بالاست (Ranasingh, 2008). در این الگوریتم، پارامتر مقیاس^۲ مهم‌ترین پارامتر کنترل کننده در تولید اشیای ژئومورفولوژیکی است، به گونه‌ای که مقادیر عددی مقیاس بزرگ‌تر منجر به تولید اشیای ژئومورفولوژیکی بزرگ‌تر و کلی تر می‌شود و مقادیر مقیاس کوچک‌تر به تولید اشیای ژئومورفولوژیکی کوچک‌تر و جزئی‌تر می‌انجامد. باید اشاره کرد که تعیین مقدار صحیح عدد مقیاس، در فرایند قطعه‌بندی با قدرت تفکیک چندگانه، تکیه بر دانش ژئومورفولوژی^۳ و روش سعی و خطا^۴ دارد. در تحقیق حاضر، پارامتر مقیاس ۲۰، پارامتر رنگ ۰.۴ و پارامتر شکل ۰.۶، به علت قطعه‌بندی و تفکیک‌پذیری

1. multi-resolution segmentation algorithm
2. scale parameter
3. geomorphology knowledge base
4. trial and error method

پارامترهای شکل و رنگ، با همدیگر، معیار همگنی^۲ شیءهای تصویری را تعیین می‌کنند؛ بدین معنا که کدامیک از دو پارامتر شکل و رنگ نقش بیشتری در قطعه‌بندی داشته باشد (Martin et al., 2012). از آنجاکه منطقه مورد مطالعه تنوع شکلی بالایی دارد، در این تحقیق، وزن شکل بیشتر از وزن رنگ انتخاب شد (مجموع پارامتر رنگ و شکل همیشه عدد یک است؛ بنابراین، نقش پارامتر شکل در قطعه‌بندی بیشتر از رنگ بود).

بزرگ‌تر و کلی‌تری تولید خواهد شد و بر عکس. پارامتر رنگ براساس انحراف معیار رنگ‌های طیفی باندهای ماهواره‌ای تعریف می‌شود ولی پارامتر شکل طبق انحراف معیار فشردگی یا نرمی شکل^۱ به دست می‌آید. فشردگی شکل از نسبت محیط شکل به ریشه دوم مساحت همان شکل تعریف می‌شود ولی نرمی شکل از نسبت‌گیری محیط شکل به طول بزرگ‌ترین مرز شکل به دست می‌آید (Gercek, 2010). انتخاب عدد بزرگ‌تر برای ضریب فشردگی منجر به تولید قطعات بیشتر در تصویر خواهد شد.

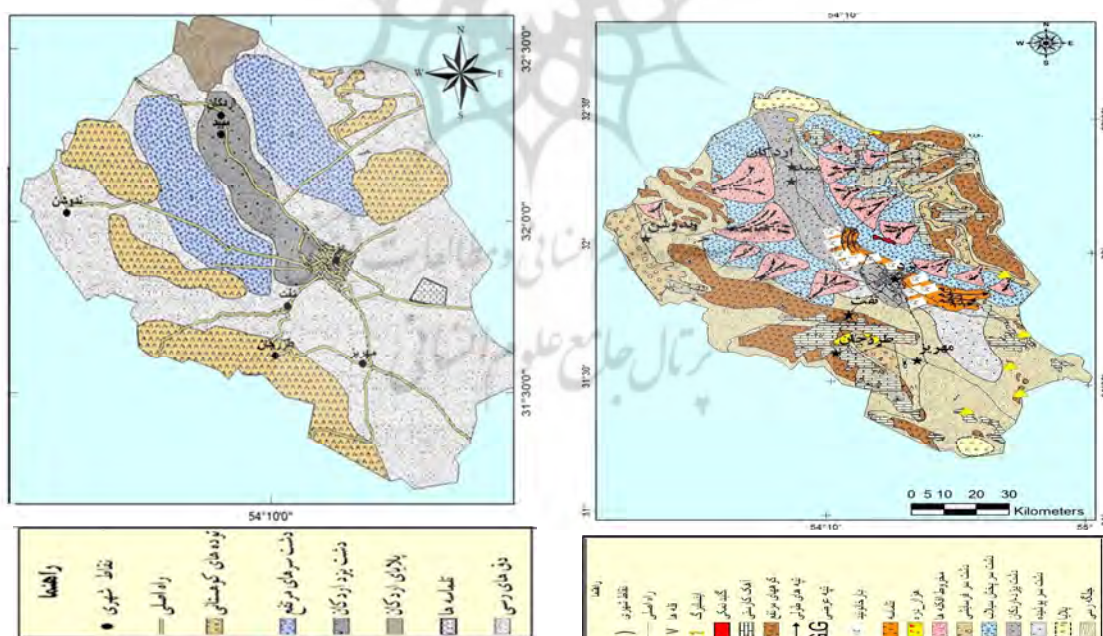


شکل ۶. نقشه لندفرم‌های بخشی از حوضه: (الف) تصویر ورودی در محیط شیء‌گرای E-cognition؛ (ب) تصویر قطعه‌بندی شده با روش قدرت تفکیک چندگانه؛ (ج) کلاس‌های ژئومورفولوژیکی حاصل از روش خودکار شیء‌گرا

1. compact (smooth) shape
2. homogeneity criterion

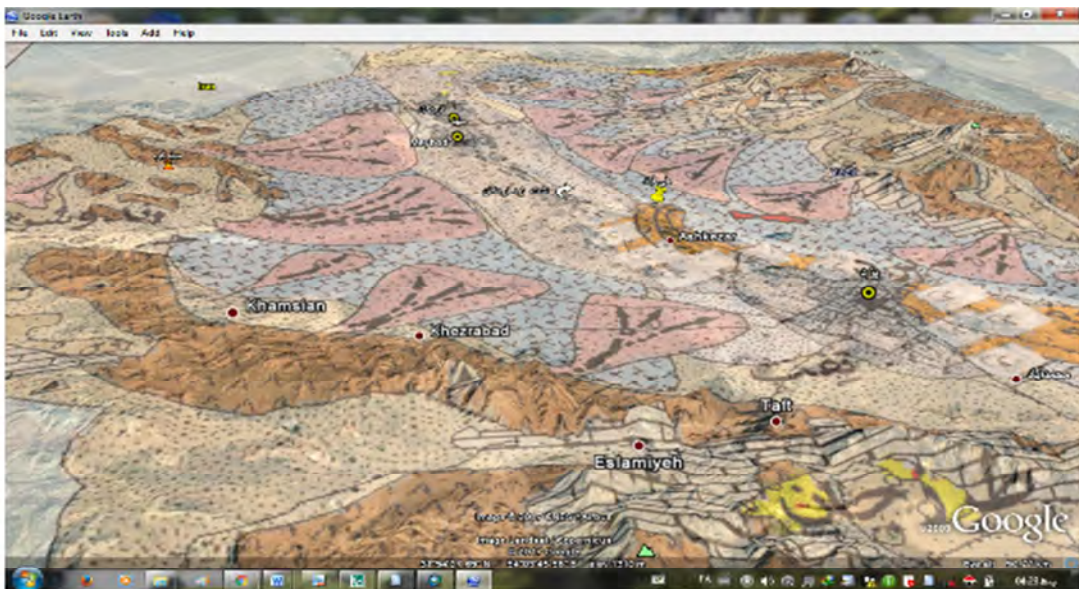
برای ارزیابی دقیق در مدل‌های شناسایی خودکار لندرم‌ها، دو روش کیفی و کمی به کار رفته است. در روش کیفی، از تفسیر چشمی و تکنیک‌های همپوشانی^۵ به منظور میزان مطابقت لایه حاصل از انداختن نقشه مدل روی تصویر گوگل ارث، با مقیاس ۱:۲۰۰۰۰۰ استفاده شده است (شکل ۸). برای رؤیت نسبی تصویر گوگل ارث، که پشت نقشه زمین مرجع شده^۶ حاصل از مدل قرار داشته، از میزان شفافیت^۷ نقشه مذکور کاسته شده که نتیجه آن در شکل ۸ با دید سه‌بعدی، به نمایش گذاشته شده است. همان‌طور که مشاهده می‌شود، لندرم‌های شناسایی شده حاصل از مدل در موقعیت نسبی خود روی تصویر گوگل ارث قرار گرفته‌اند. برای نمونه، ارتفاعات شیرکوه (با رنگ قهوه‌ای در قسمت پایین تصویر) و تپه‌های ماسه‌ای در شمال شرق شهر یزد و جنوب شرق آن و همچنین، مخروط‌افکنهای دو نیمهٔ شرقی و غربی این حوضه، هم از نظر مکانی و هم از نظر چیستی لندرم، با نقشه حاصل از این تحقیق در شکل ۷ (سمت راست) مطابقت دارد و به درستی، روی گوگل ارث همپوشانی یافته‌اند.

در شکل ۷، نقشه حاصل از شناسایی بصری (سمت چپ) و شناسایی خودکار بازطبقه‌بندی شده^۸ (سمت راست) برای کل حوضه، به صورت یکجا، برای مقایسه آورده شده است. همان‌گونه که دیده می‌شود، در روش بصری، فقط لندرم‌های بزرگی مثل توده‌های کوهستانی، دشت‌سرهای مرفع، دشت یزد- اردکان و بخش دیگری از لندرم‌ها همچون کفه^۹ اردکان و به سختی تلماسه‌ها را می‌شود شناسایی کرد. ولی در شکل ۷ (سمت راست) که نقشه لندرم‌های بازطبقه‌بندی شده خودکار با الگوریتم قطعه‌بندی به روش قدرت‌تفکیک چندگانه است، علاوه‌بر لندرم‌های قبلی، تپه‌های عرضی، مخروط‌افکنهای، هزاردره‌ها^{۱۰} و کوه‌های منفرد^{۱۱} نیز شناسایی شده‌اند. در این روش، هم کفه اردکان در شمال حوضه و هم کفه نمکی موجود در جنوب حوضه شناسایی شدند. همچنین، افزون بر توده‌های کوهستانی که در روش بصری تشخیص داده شده‌اند، کوه‌های فرسایش‌یافته نیز، در قسمت شمال شرق حوضه، شناسایی و طبقه‌بندی شده‌اند.



شکل ۷. مقایسه روش‌های بصری (سمت چپ) و خودکار بازطبقه‌بندی شده (سمت راست) در شناسایی لندرم‌های حوضه یزد- اردکان

- | | |
|--|--|
| 1. reclassified
3. badlands
5. overlay techniques
7. transparency | 2. playa
4. inselbergs
6. geo-referenced |
|--|--|



شکل ۸. همپوشانی نقشه حاصل از مدل روی تصویر گوگل ارث

= درصد صحت تولیدکننده

$$\frac{\text{تعداد پیکسل‌های بهدرستی شناسایی شده در هر ستون از هر کلاس}}{\text{مجموع پیکسل‌های درست و نادرست شناسایی شده در همان ستون}} \times 100$$

رابطه (۵)

درصد صحت کاربر = $100 - \text{درصد خطای کمیسیون}$

رابطه (۶)

درصد صحت تولیدکننده = $100 - \text{درصد خطای امیسیون}$

رابطه (۷)

عناصر غیرقطري در ماتریس مورد اشاره بیانگر تعداد پیکسل‌های (در اینجا درصد پیکسل‌ها) است که به اشتباه شناسایی شده‌اند که این اشتباه را با خطای کمیسیون^۱ و خطای امیسیون^۲ کمی‌سازی می‌کنند. خطای کمیسیون یا خطای اضافی به تعداد یا درصد پیکسل‌های اضافی گفته می‌شود که به کلاس دیگری تعلق داشتند ولی، به اشتباه، به کلاس مورد نظر تعلق گرفتند. خطای امیسیون یا خطای حذفی به درصد پیکسل‌های از قلم افتاده در هر کلاس گفته می‌شود که،

1. error of commission
2. error of omission

بنابراین، مدل‌های مذکور مطمئن‌اند و در شناسایی لندفرم‌ها می‌توان از آنها استفاده کرد.

به منظور ارزیابی کمی روش خودکار برپایه مدل شیء‌گرا، از ماتریس درهمی یا خطأ استفاده شده است. از مقابل هم قراردادن نقشه طبقه‌بندی شده به روش خودکار (شیء‌گرا) و نقشه مرجع، ماتریس خطأ تشکیل شد (جدول ۴). سپس براساس داده‌های ماتریس خطأ این تحقیق، ارزیابی‌های آماری شامل ضریب کاپا (رابطه (۲)), صحت کلی نقشه (رابطه (۳)), صحت کاربر (رابطه (۴)), صحت تولیدکننده (رابطه (۵)) و محاسبه خطاهای کمیسیون (رابطه (۶)) و امیسیون (رابطه (۷)) به صورتی که در ادامه خواهد آمد انجام گرفت و نتیجه محاسبات به ستون و ردیف آخر ماتریس خطأ در جدول ۴ پیوست شد.

$$\text{صحت کلی} = \frac{\text{مجموع قطر اصلی}}{\text{کل پیکسل‌های مورد ارزیابی}} \times 100 = \frac{779.72}{800} = 97.46\%$$

رابطه (۳)

= درصد صحت کاربر

$$\frac{\text{تعداد پیکسل‌های بهدرستی شناسایی شده در هر ردیف از هر کلاس}}{\text{مجموع پیکسل‌های درست و نادرست شناسایی شده در همان ردیف}} \times 100$$

رابطه (۴)

مقایسه روش‌های بصری و خودکار مبتنی بر شیء ...

این خود گواهی بر صحت ارزیابی کیفی در بحث قبلی نیز شمرده می‌شود و بنابراین در شناسایی عوارض ژئومورفولوژیکی مورد اعتماد و کاربردی است. درواقع، پارامترهای کنترل کننده قطعه‌بندی افزایش درصد درستی شناسایی و طبقه‌بندی در روش قدرت تفکیک چندگانه مبتنی بر شیء‌پایه را تعیین می‌کند. علت صحت بالای روش یادشده در این تحقیق نیز استفاده از پارامترهای مناسب در فرایند قطعه‌بندی بوده است.

به‌اشتباه، با الگوریتم طبقه‌بندی حذف شده‌اند. نتایج خطاهای یادشده در جدول ۴ نشان می‌دهد بیشترین و کمترین این خطاهای، به ترتیب، به کلاس کوهستان و دشت مربوط است. همچنان، نتایج تحلیل کمی ماتریس خطای در این تحقیق نشان داد که الگوریتم قدرت تفکیک چندگانه در شناسایی و قطعه‌بندی لندفرم‌ها، در فرایند طبقه‌بندی شیء‌پایه، دارای صحت کلی ۹۷.۴۶٪ و ضریب توافقی کاپای ۹۶.۵۳٪ است.

جدول ۴. ماتریس خطای شناسایی خودکار لندفرم (اعداد به درصد)

کل	کوهستان	دشت	چخک‌روها	چخک‌چوچه	چوچه	پیش‌بینی‌ها	کل	% کاربرد	% بعلتی	% مجموع	% مخروط‌کننده‌ها	% نتایج‌های کارست	% شیء‌پایه	% داشت	% بیشترین	% کاربرد	
۹۸.۱۰	۱.۹۰	۱۰۰.۶۲	۰.۸	۰	۰.۹	۰	۰	۰.۲	۹۸.۷۲	۹۸.۷۲	۹۸.۷۲	۹۸.۷۲	۹۸.۷۲	۹۸.۷۲	۹۸.۷۲	۹۸.۷۲	۹۸.۷۲
۹۵.۵۰	۴.۵۰	۱۰۲.۶۱	۰.۱	۱	۰	۰	۳.۵	۹۸	۰.۱	۰.۱	۰.۱	۰.۱	۰.۱	۰.۱	۰.۱	۰.۱	۰.۱
۹۶.۶۴	۳.۳۶	۹۸.۳	۰.۰۸	۲	۰.۱	۰	۹۵	۱.۱	۰.۰۲	۰.۰۲	۰.۰۲	۰.۰۲	۰.۰۲	۰.۰۲	۰.۰۲	۰.۰۲	۰.۰۲
۹۸.۴۵	۱.۵۵	۹۸.۵۵	۰	۰	۱.۲	۹۷	۰.۳	۰	۰.۰۵	۰.۰۵	۰.۰۵	۰.۰۵	۰.۰۵	۰.۰۵	۰.۰۵	۰.۰۵	۰.۰۵
۹۶.۰۸	۳.۹۲	۱۰۲	۰	۰	۱	۹۸	۲.۵	۰.۵	۰	۰	۰	۰	۰	۰	۰	۰	۰
۱۰۰.۰۰	۰.۰۰	۹۸	۰	۰	۹۸	۰	۰	۰	۰	۰	۰	۰	۰	۰	۰	۰	۰
۹۷.۶۴	۲.۳۶	۹۸.۳۲	۰.۰۲	۹۶	۰	۰.۸	۰.۵	۰.۴	۰.۴	۰.۴	۰.۴	۰.۴	۰.۴	۰.۴	۰.۴	۰.۴	۰.۴
۹۷.۴۰	۲.۶۰	۱۰۱.۶	۹۹	۱	۰	۰.۳	۰.۳	۰.۳	۱	۱	۱	۱	۱	۱	۱	۱	۱
مجموع ستون‌ها																	
۸۰۰		۱۰۰	۱۰۰	۱۰۰	۱۰۰	۱۰۰	۱۰۰	۱۰۰	۱۰۰	۱۰۰	۱۰۰	۱۰۰	۱۰۰	۱۰۰	۱۰۰	۱۰۰	۱۰۰
۲۰.۲۸		۱	۴	۲	۲	۳	۵	۲	۱.۲۸								
۷۷۹.۷۲		۹۹	۹۶	۹۸	۹۸	۹۷	۹۵	۹۸	۹۸.۷۲								
دقت تولیدکننده٪																	

۴- بحث و نتیجه‌گیری

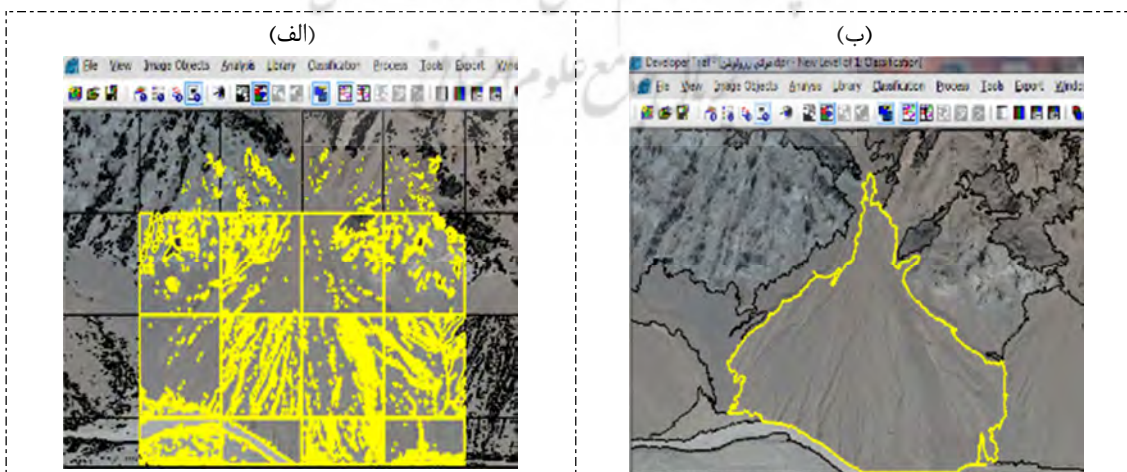
مرحله طبقه‌بندی، محسوب می‌شوند که با افزایش بار مفهومی قطعه‌بندی، می‌توان به تشخیص دقیق‌تری از عوارض رسید. به عبارت دیگر، طبق شکل ۲ که به مدل «فنر مارپیچی» با تز معرف است، هر اندازه بر ویژگی‌های خاص عوارض در شناسایی آن در متن تصویر تأکید

پژوهش حاضر به منظور شناسایی و تشخیص خودکار لندفرم‌ها و بهبود دقیق‌تری از طبقه‌بندی براساس اصل «شیء‌پایه» انجام گرفت. همان‌طور که دیده شد، الگوریتم‌های قطعه‌بندی مهم‌ترین روش روز دنیا، برای شناسایی و تشخیص عوارض سطح زمین پیش از

قطعه‌بندی روشی برای شناسایی و تفکیک لندفرم‌ها و اشکال ژئومورفولوژیکی است. همان‌طور که در این پژوهش دیده شد، جزئیاتی از سطح مخروط‌افکنه با روش اختلاف تباین کشف شده که، به‌دلیل استفاده از اختلافات بین درجات روشنایی پیکسل‌های همسایه، در نواحی مرزی بوده است. در روش قطعه‌بندی براساس تباین درجات روشنایی پیکسل‌ها، می‌توان شبکه مسیلهای، خشکرودها و نیز آثار فرسایشی در پیکره مخروط‌افکنه را بررسی کرد؛ بنابراین، عملیات قطعه‌بندی دارای خاصیت اکتشافی لندفرم‌ها در متن تصویر است که، در روش بصری، از دید انسان پنهان می‌ماند.

در روش قدرت تفکیک چندگانه، موارد مشابه و همگن از نظر شکل و رنگ با هم ادغام می‌شوند و تشکیل واحد شکلی بزرگ‌تری می‌دهند. به عبارت دیگر، این روش براساس تکنیک رشد ناحیه^۱ عمل می‌کند یعنی یک ناحیه را آن قدر توسعه می‌دهد تا از نظر معیار همگنی (شکل، طیف و مقیاس) به یک شکل واحد بررسد؛ پس یک روش قطعه‌بندی از پایین به بالاست. روش مورد نظر، طبق نتایج این تحقیق، برای شناسایی فرم و ساختار شکلی لندفرم‌ها، مانند مخروط‌افکنه، کارآیی دارد و در تحقیقات مشابه دیگر می‌توان بدون محدودیت از آن استفاده کرد (شکل ۹(ب)).

بیشتری شود، دقیق تشخصیص بالاتر می‌رود. برای نمونه، مخروط‌افکنهای را در نظر بگیرید، مهم‌ترین ویژگی‌های آن شکل تقریب به مخروط است. افزون بر شکل هندسی مخروط، شبیه و همسایگی آن با گردنه خروجی کوهستان از مواردی است که می‌تواند سبب افزایش بار مفهومی آن در تشخیص خودکار شود. در این تحقیق نیز، مورفو‌لوزی مخروط‌افکنه یا پارامتر شکل آن مهم‌ترین پارامتر تشخیص در عملیات قطعه‌بندی، در محیط شیء‌گرای E-cognition، تعریف شد که، مطابق شکل ۱۰(ب)، به شناسایی مرز طبیعی و نامنظم آن، تقریباً همان مخروط، انجامیده است. همان‌طور که دیده می‌شود، رأس مخروط طبیعی به سمت دهانه کوهستان و قاعده آن رو به اراضی کم‌شبیب، به صورت خودکار، براساس قواعد پیشین، تشخیص داده شد. در این تحقیق، مشخص شد که قطعه‌بندی به روش قدرت تفکیک چندگانه، به‌دلیل لحاظ کردن معیار مهم ژئومورفولوژیکی مانند «ضریب شکل»^۲، در حیطه دانش ژئومورفو‌لوزی، برای تشخیص ساختار شکلی مخروط‌افکنه و استخراج مرز طبیعی آن مناسب و کاربردی است (شکل ۹(ب)). همچنین، قطعه‌بندی به روش تباین پیکسلی در شناسایی لندفرم‌های خرد مانند آبکندها، خشکرودها و کانال‌های گیسویی در سطح مخروط‌افکنه موفق عمل کرده است (شکل ۴).



شکل ۹. مقایسه روش‌های قطعه‌بندی در شناسایی مخروط‌افکنه: (الف) روش تباین پیکسلی؛ (ب) روش قدرت تفکیک چندگانه

1. shape factor 2. region growing

است؛ به عبارت دیگر، صحت نقشه را در حالت بدینانه اعلام می‌کند. بیشترین و کمترین خطاهای کمیسیون و امیسیون براساس نتایج ارزیابی، به ترتیب، مربوط به کلاس کوهستان و دشت است؛ بنابراین، می‌توان نتیجه گرفت که کمترین خطاهای شناسایی به لندفرم‌هایی با بافت نرم و سطوح یکنواختی، همچون دشت، مربوط می‌شود اما بیشترین خطاهای شناسایی به لندفرم‌هایی با بافت خشن و ناهموار، مانند کوهستان، بازمی‌گردد. همچنین از میان انواع پارامترهای کنترل کننده در قطعه‌بندی، پارامتر شکل برای شناسایی لندفرم‌های ژئومورفولوژیکی تأثیرگذارتر است چون اولین و مهم‌ترین ویژگی لندفرم‌ها که باعث شناسایی آنها در متن تصاویر فضایی می‌شود، شکل آن است.

۵- منابع

- اختصاصی، م، احمدی، ح، فیض‌نیا، س، بوشه، ۵، ۱۳۸۳، فرسایش بادی، رخساره‌ها و خسارات آن در حوضه دشت یزد-اردکان، مجله منابع طبیعی ایران، سال ۵۷، شماره ۴، ص. ۵۶۷-۵۸۱.
اکبری ا، شکاری بادی، ع، ۱۳۹۲، پردازش و استخراج اطلاعات از داده‌های ماهواره‌ای با استفاده از نرم‌افزار ENVI با نمونه‌های کاربردی در علوم زمین، نقشه‌برداری، جغرافیا و محیط‌زیست، انتشارات ماهواره، تهران.
رامشت م.ح، ۱۳۹۳، نقشه‌های ژئومورفولوژی (نمادها و مجازها)، انتشارات سمت، تهران.
شایان، س، یمانی، م، فرج‌زاده اصل، م، احمدآبادی، ع، ۱۳۹۱، طبقه‌بندی نظارت شده لندفرم‌های ژئومورفولوژیکی مناطق خشک مرزجاب، سنجش از دور و GIS ایران، سال ۴، شماره ۲، ص. ۱۹-۲۸.

1. clay pan

براساس نتایج ارزیابی‌ها می‌توان نتیجه گرفت که، مطابق شکل ۹(ب)، طبقه‌بندی شیء‌پایه برمبنای قطعه‌بندی چندگانه، با صحت بیش از ۹۰٪، در شناسایی و طبقه‌بندی ساختار کلی لندفرم مخروط‌افکنه کارآیی دارد ولی مطابق شکل ۹(الف)، قطعه‌بندی تباین پیکسلی در استخراج و شناسایی فرم مخروط موفق عمل نکرده است. با این حال، طبق نتایج نقشهٔ خروجی شکل ۴، همین روش در شناسایی میکرولندفرم‌های سطح مخروط‌افکنه، مانند آبکندها و کانال‌های گیسویی، کارآیی دارد.

در واقع لندفرم‌ها، در طبقه‌بندی شیء‌پایه مبتنی بر قطعه‌بندی چندگانه، براساس ویژگی‌های ژئومورفومتری طبقه‌بندی می‌شوند (Gerçek, 2010). بیشترین لندفرم‌هایی که با این روش شناسایی شده‌اند پهنه‌های رسی^۱ یا دق، کوه‌ها، انواع دشت‌سراها و مخروط‌افکنهای بودند.

علت پاسخ بهتر قطعه‌بندی به روش قدرت تفکیک چندگانه، در طبقه‌بندی شیء‌پایه لندفرم‌های ژئومورفولوژیکی، این است که روش یادشده فقط از اطلاعات رقومی پیکسل‌های مجزای نامفهوم برای طبقه‌بندی استفاده نمی‌کند بلکه آبجکت‌ها یا اشیای تصویری شناخته شده را، که محصول قطعه‌بندی‌اند، به کار می‌برد. این آبجکت‌ها اطلاعات مهم ژئومورفومتری را مانند ضریب شکل، ضریب فشردگی، اندازه و موقعیت نسبی، بافت و روابط همسایگی دربر دارند که باعث ارتقای دقت طبقه‌بندی در روش شیء‌پایه در این تحقیق شده است. در تحقیق حاضر، برای ارزیابی نقشهٔ لندفرم حاصل از طبقه‌بندی شیء‌پایه، از دو روش کیفی و کمی استفاده شد. در روش کیفی، از تکنیک هم‌پوشانی و بررسی میزان تطابق لایه‌ها و از سوی دیگر، در روش کمی، از تحلیل‌های ماتریس خطا و شاخص توافق کاپا بهره برده شد. مزایای شاخص کاپا استفاده از کل اعداد ماتریس (نه فقط عناصر قطر اصلی) در ارزیابی‌های است. از آنجاکه در شاخص کاپا مقدار شانس از صحت کلی حذف می‌شود، همیشه مقدار شاخص کاپا کمتر از دقت کلی

- Baatz, M. & Schäp, A., 2000, **Multiresolution Segmentation: An Optimization Approach for High Quality Multi-Scale Image Segmentation**, Heidelberg university, Germany.
- Baatz, M., Hoffmann, C. & Willhauck, G., 2008, **Progressing from Object-Based to Object-Oriented Image Analysis**, available in www.springer.com online with ISBN: 978-3-540-77057-2.
- Brabyn, L., 1998, **GIS Analysis of Macro Landform**, In: Proceedings of the Spatial Information Research Centre's 10th Colloquium, University of Otago, Dunedin, New Zealand, PP. 35–48.
- Crozier, M.J. & Owen, R.C., 1983, **Terrain Evaluation for Rapid Ecological Survey**, Physical Geography, University of Victoria, Wellington, New Zealand.
- Definiens, A.G., 2006, **User Guide for Definiens Professional 5**, München, Germany.
- Dehn, M., Golger, G. & Dikau R., 2001, **Principles of Semantic Modeling of Landform Structures**, Computer and Geosciences, 27, PP. 1005–1010.
- Dikau, R., Brabb, E.E. & Mark, R.M., 1991, **Landform Classification of New Mexico by Computer**, U.S. Dept. Interior U.S. Geological Survey, Open-file report, U.S.A.
- Dragut, L. & Blaschke, T., 2006, **Automated Classification of Landform Elements Using Object-Based Image Analysis**, *Geomorphology*, 81, PP. 330–344.
- Dymond, J.R., Derose, R.C. & Harmsworth, G.R., 1995, **Automated Mapping of Land Components from Digital Elevation Data**, Earth Surface Processes and Landforms, 20, PP. 131–137.
- Gerçek, D., 2010, **Object-Based Classification of Landforms Based on their Local Geometry and Geomorphometric Context**, Ph.D. thesis in GIS, Sup: Dr. Vedat, M.E.T University.
- Hammond, E.H., 1954, **Small-Scale Continental Landform Maps**, Annals of the Association of American Geographers AAG, 44, PP. 34–42
- علوی‌پناه، س.ک.، ۱۳۸۲، **کاربرد سنجش از دور در علوم زمین (علوم خاک)**، انتشارات دانشگاه تهران، تهران.
- قواتی ع.، بهشتی جاوید، ا.، ۱۳۹۲، **روش‌ها و تکنیک‌های جدید ترسیم نقشه‌های ژئومورفولوژی**، انتشارات جهاد دانشگاهی، تهران.
- گورابی ا.، کریمی، م.، ۱۳۹۱، **روشی جدید در استخراج مخروط‌افکنهای از مدل رقومی ارتفاع**، پژوهش‌های ژئومورفولوژی کمی، سال اول، شماره ۳، صص. ۸۹–۱۰.
- محمدی ن.، آل شیخ، ع.، صداقت، ا.، ملک، م.، ۱۳۸۹، **روشی جدید در قطعه‌بندی خودکار تصاویر ماهواره‌ای با دقت بالا برای استخراج خطوط ساحلی**، مجله مهندسی دریا، سال ۶، شماره ۱۱، صص. ۳۵–۲۵.
- ملامهر علیزاده، ف.، جنتی، م.، شایان، س.، ۱۳۸۴، **کارآیی داده‌های سنجش از دور در تهیئة نقشه‌های لندفرم و نقش آن در برنامه‌ریزی محیطی**، فصلنامه مدرس علوم انسانی، سال ۶، شماره ۴، صص. ۱۴۸–۱۱۱.
- یمانی، م.، مقصودی، م.، ۱۳۸۲، **بررسی و تحول کanal های گیسویی در سطح مخروط افکنهای مطالعه موردنی: مخروط تنگوئیه در سیرجان**، پژوهش‌های جغرافیایی، سال ۳۵، شماره ۴۵، صص. ۱۳۳–۱۰۳.
- Argialas, D.P. & Tzotsos, A., 2004, **Automatic Extraction of Alluvial Fans from Aster L1 Satellite Data and a Digital Elevation Model Using Object-Oriented Image Analysis**, in ISPRS Congress, PP. 1–6.
- Asselen, V. & Seijmonsbergen, S., 2006, **Expert-Driven Semi-Automated Geomorphological Mapping for a Mountainous Area Using a Laser DTM**, *Geomorphology*, 78, PP. 309–320.
- Australian Curriculum, 2008, **Oxford Big Ideas Geography**, chapter 1: Landforms and Landscapes, Australia, PP.40–53.

- Hammond, E.H., 1964, **Analysis of Properties in Land Form Geography: An Application to Broad-Scale Land Form Mapping**, Annals of the Association of American Geographers AAG, PP. 11–19.
- Haralick, R., Shanmugan, K. & Dinstein, I., 1973, **Textural Features for Image Classification**, IEEE Transactions on Systems, Man and Cybernetics, 3, PP. 610–621.
- Hoffmann, A. & Vander Vegt, J.W., 2001, **New Sensor Systems and New Classification Methods: Laser and Digital Camera-Data Meet Object Oriented Strategies**, Geo-Information Systems, 6, PP. 18–23.
- Jensen, J.R., 1986, **Introductory Digital Image Processing**, Prentice-Hall, Englewood Cliffs, New Jersey.
- Linton, D., 1970, **The Assessment of Scenery as a Natural Resource**, Scottish Geography Magazine, 84, PP. 219–238.
- MacMillan, R.A. & Shary, P.A., 2009, **Landforms and Landform Elements in Geomorphometry**, Geomorphometry: Concepts, Software, Applications, 33, PP. 227–254.
- Martin, K., Schroeder, W. & Lorensen, B., 2012, **Reference Book for e-Cognition® Developer 8.7.2**, Trimble Germany press, Munich.
- Pike, R.J., Evans, I.S. & Hengl, T., 2009, **Geomorphometry: A Brief Guide**, In: T. Hengl, H.I., Reuter (Eds.), Geomorphometry Concepts, Software, Applications: Developments in Soil Science, Elsevier, Amsterdam, 33, PP. 3–30.
- Ranasinhg, A., 2008, **Multi Scale Segmentation Techniques in Object Oriented Image Analysis**, proceeding in ACRS2008, PP. 1–6.
- Scofield, G.B., Pantaleão, R.E. & Negri, G., 2015, **A Comparison of Accuracy Measures for Remote Sensing Image Classification: Case Study in an Amazonian Region Using Support Vector Machine**, International Journal of Image Processing, 9, PP. 11–21.
- Stehman, S.V., 1997, **Selecting and Interpreting Measures of Thematic Classification Accuracy**, Remote Sensing of Environment 62 (1), PP. 77–89.
- Wallace, W.H., 1995, **New Zealand Landforms**, New Zealand Geographer, 11, PP. 17–27.